

(4) 測定処理の適切性

測定結果の算出については、入念に再チェックを行い、測定結果に問題がないことを確認した。このことから、測定処理は適切であったと考える。

3 評価結果

平常の変動幅の上限を超過した原因として、「中西」を除く4地点については、浜岡原子力発電所からの人工放射性核種の影響ではなく、自然変動（自然放射性核種の変動）によるものと考える。また、「中西」については、浜岡原子力発電所からの人工放射性核種の影響ではなく、積算線量計の設置状況の変化又は自然変動（自然放射性核種の変動）と考える。

以上

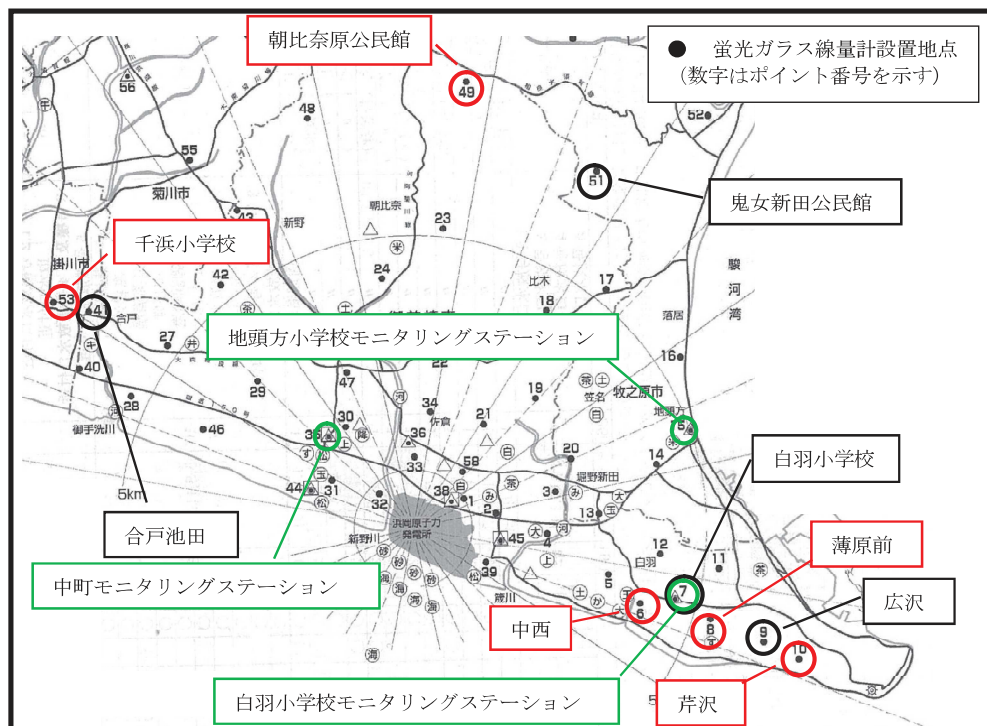


図1 萤光ガラス線量計の設置地点

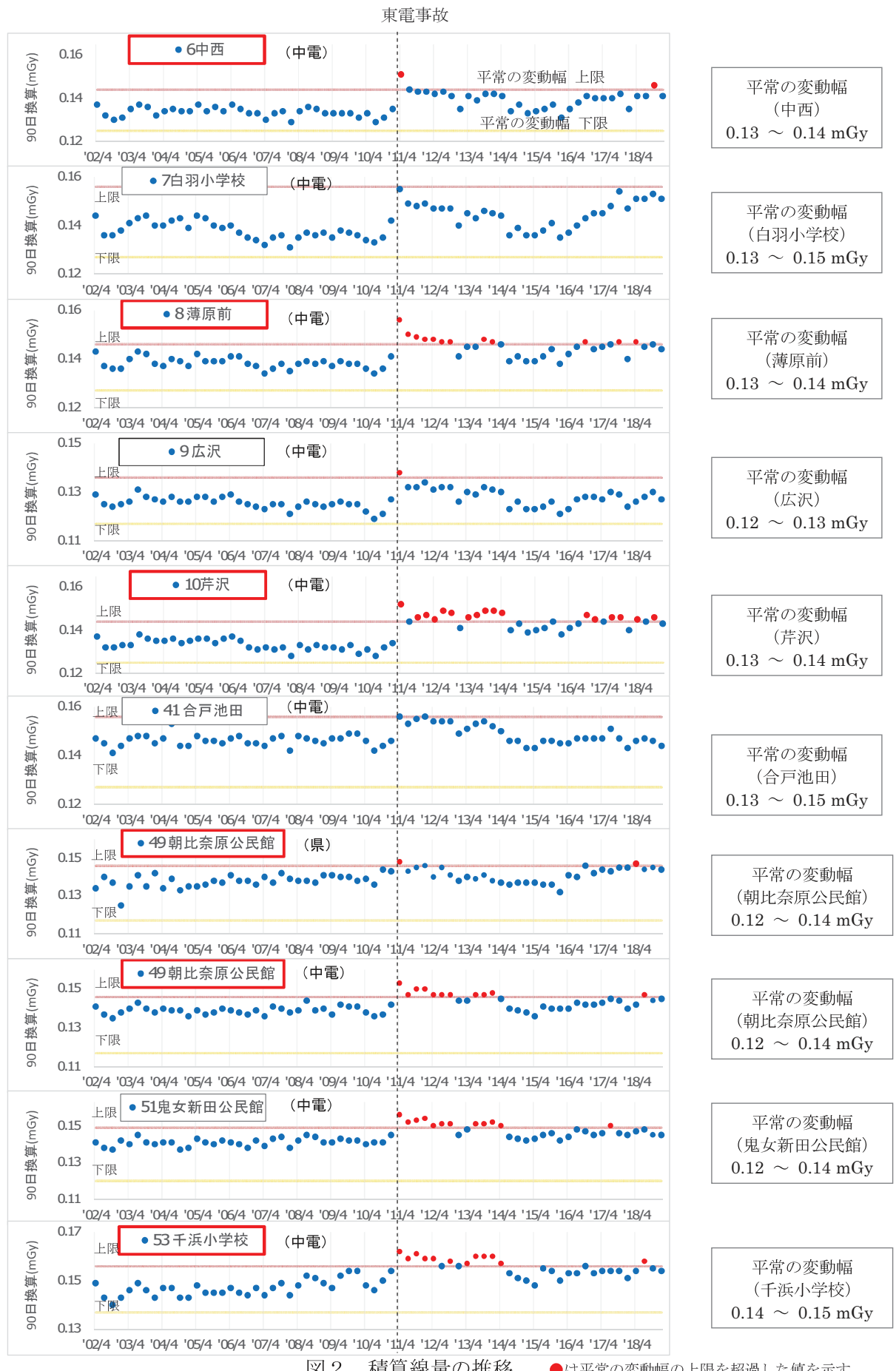




図3 中西のモニタリングポイントの蛍光ガラス線量計固定治具の取替前後の写真

平成 30 年 9 月 28 日
中部電力株式会社
浜岡原子力発電所

IV 平常の変動幅の上限超過（集塵終了 6 時間後の全ベータ放射能）に 係る原因調査

平成 30 年 4 月、地頭方小学校モニタリングステーション（以下、「地頭方小学校 MS」という。）において、浮遊塵中の集塵終了 6 時間後の全ベータ放射能濃度（以下「 β 2」という。）の 1 時間値が平常の変動幅の上限を上回る事象が発生した。原因調査の結果、平成 28 年 3 月に実施した連続ダスト測定装置更新による影響及び自然放射線による揺らぎにより、平常の変動幅の上限を超過したと推定した。

1 事象

今回報告対象の事象を表 1 に示す。なお、今回報告対象事象と同様に、地頭方小学校 MS の β 2 の 1 時間値が平常の変動幅の上限を上回る事象は、平成 29 年 5 月に発生している。（平成 29 年度第 2 回技術会報告済み）

表 1 β 2（1 時間値）（平成 30 年 4 月の間に発生した事象）

単位：Bq / m³

測定地点	H30 4/23 13:00～ 15:00	平常の変動幅 (1 時間値)
牧之原市 地頭方小学校 MS	0.28～0.29	*～0.27

※：* は「LTD：検出限界未満」を示す。

2 原因調査

（1）連続ダスト測定装置更新による指示値の変化

平成 28 年 3 月に実施した、浮遊塵中の全アルファ・全ベータ放射能の測定を行う連続ダスト測定装置の更新後において、集塵中の全アルファ放射能濃度の低下及び集塵中の全ベータ放射能濃度、集塵中の全アルファ・全ベータ放射能比の上昇が認められた。なお、ダストモニタの濃度算出時において、検出器効率やバックグラウンド値を一律として計算していることによるわずかな誤差等は生じるが、これらの値について点検にて規定の範囲内であることを確認しており、測定装置の健全性は確保できていたと考えられる。（平成 28 年度第 1 回技術会にて報告済み）なお、 β 2 においては測定装置更新後ににおいて指示値に上昇が認められている。

(2) 自然放射性核種の変動

ダストモニタは 5 局舎のモニタリングステーションに設置しており、平成 30 年 4 月における事象当該時刻の β_2 は 5 局舎で一時的に上昇している。また、当該集塵時間帯の全ベータ放射能濃度（以下「 β_1 」という。）についても、他局舎と同様の変動をしている。（図 1、図 2）

浜岡原子力発電所内の気象観測データから、当該集塵時間帯の大気安定度^{注1}は G 型又は D 型を示しており、気流の乱れが小さい気象条件であったと考えられる。

そのため、大地から散逸したラドン、トロン^{注2}等の自然放射性核種が拡散せず、地表面付近に溜まり、見かけ上の半減期が長いトロン崩壊生成物の影響^{注3}により、 β_2 が上昇したものと考えられる。

(3) 人工放射性核種による影響

地頭方小における集塵中及び集塵終了 6 時間後の全アルファ・全ベータ放射能比（以下それを「 β_1/α_1 」、「 β_2/α_2 」という。）は、ほとんど変化が見られない。（図 3）

また、当該集塵時間帯のろ紙を回収し核種分析を行ったところ、人工放射性核種は検出されなかった。

さらに、モニタリングステーション及び浜岡原子力発電所敷地内のモニタリングポストの線量率に異状は認められなかった。

これらのことから、人工放射性核種による影響ではないと考えられる。

(4) 測定系の健全性

連続ダスト測定装置の点検結果（平成 29 年 12 月に実施）や事象発生直後の現場確認において、測定機器等に異常がないことを確認した。

のことから、測定系の健全性は確保できていたと考えられる。

3 まとめ

調査の結果、地頭方小学校 MS において β_2 が平常の変動幅の上限を超過した原因は、平成 28 年 3 月に実施した連続ダスト測定装置更新による影響及び自然放射線による揺らぎによるものと推定した。

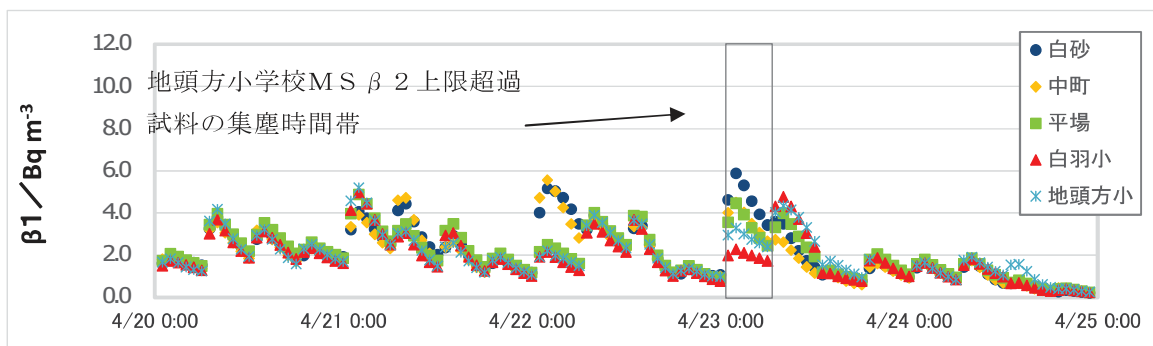


図1 各モニタリングステーションの浮遊塵中の全ベータ放射能（4月）
(β_1 : 集塵中)

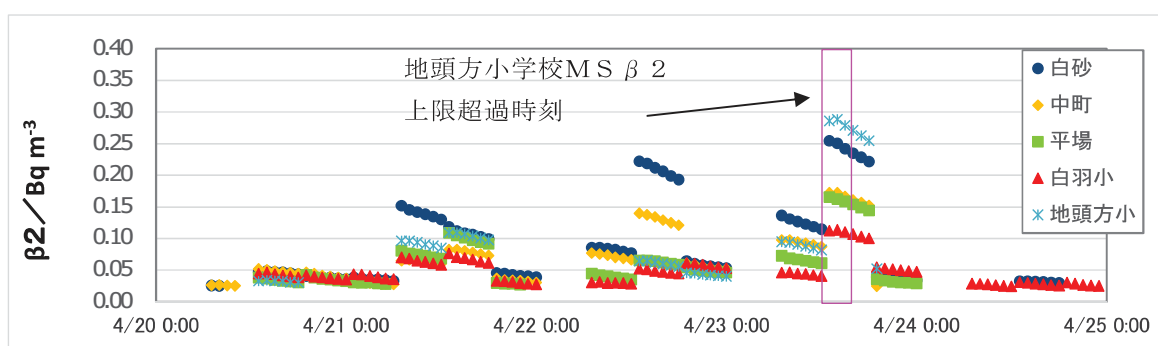


図2 各モニタリングステーションの浮遊塵中の全ベータ放射能（4月）
(β_2 : 集塵終了6時間後)

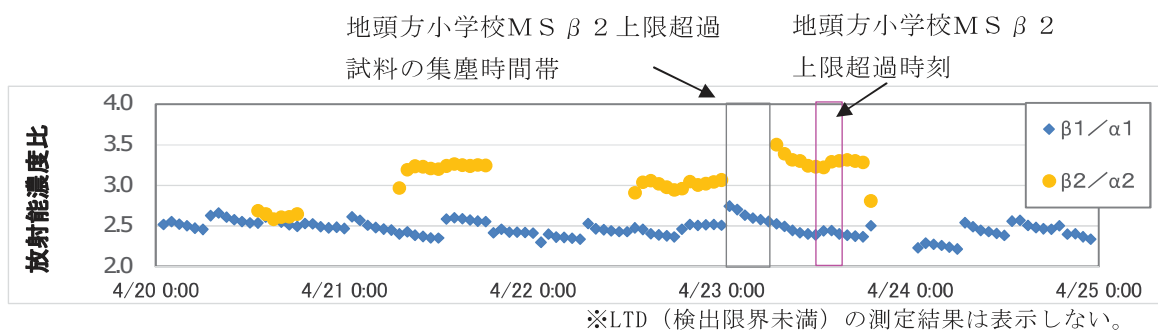


図3 地頭方小学校MSの浮遊塵中全アルファ・全ベータ放射能比（4月）
(β_1 / α_1 : 集塵中、 β_2 / α_2 : 集塵終了6時間後)